

Çatalca (İstanbul) yöresinde kömür içeren Tersiyer tortullarının çökeltme özellikleri ve jeofizik incelemesi

Depositional properties of the coal-bearing Tertiary sediments and investigation of their geophysical signatures, around Çatalca-Istanbul

AHMET ERCAN, İstanbul Teknik Üniversitesi, Jeofizik Mühendisliği Bölümü, İstanbul
FUZULİ YAGMURLU, Ankara Üniversitesi, Jeoloji Mühendisliği Bölümü, İsparta
BEKTAŞ UZ, İstanbul Teknik Üniversitesi, Jeoloji Mühendisliği Bölümü, İstanbul

Öl : Çatalca yöresinde geniş yayılım gösteren Oligosen yaşlı tortullar, egemen kaya bileşenlerine dayanılarak, iki ayrı yöntemsiz kaya birimine bölünmüştür. Bunlar alttan üste doğru, (1) kumtaşı-çakıltası birimi, (2) marn birimi şeklinde sınıflanmıştır. Tersiyer öncesi temel kayaları egemen olarak gnays, mikaşist, mermer ve kuvarşit gibi İstranca Masifi'ne özgü metamorfik kaya bileşenlerinden oluşur.

Kumtaşı-çakıltası birimi, başlıca zayıf pekleşmiş kumtaşı, çamurtaşı ve çakıltası kanal dolgularından oluşur. Kömürleşmiş bitki kalıntıları ve yersel kömür arakatıkları kumtaşı kesiti içinde seyrek olarak bulunur. Kumtaşı-çakıltası birimine ait dokusal ve sedimentolojik özellikler, birimin alüvyonal bir ortamda çökeltmiş olabileceğini yansıtır. Birim içinde yeralan değişik boyutlardaki kömür, oluşukları, alüvyonal ortamda yayılım gösteren taşkın düzlüğü bataklıklarının varlığını gösterir.

Marn birimi, egemen olarak ardalama gösteren, düzgün laminalı kalkerli şeyi, killi kireçtaşı, çamurtaşı ve kiltası bileşenlerinden oluşur. İyi boylanmış kuvars-kumtaşmdan oluşan kırıntılı düzeyler, marn kesiti içinde birden çok düzeyde bulunur. Birimin egemen kaya bileşenleri, lagün benzeri sığ bir çökeltme ortamını öngörür. Kuvars kumtaşlarının dokusal ve yanal yöndeki stratigrafi özellikleri, plaj benzeri kırıntılı kıyı düzlüklerinin varlığını simgeler.

Bu birimlerin yeraltındaki sürekliliğini belirlemek üzere 23 noktada 920 metre akım kol boylu Schlumberger elektrik dalgisi ile jeofizik yöntemler uygulanmıştır. Bölgede yeralan kaya türlerine ait elektrik özdirenç değerleri; Kuvaterner yaşlı alüvyonlarda 20-25, kiltası ve kömürde 1-10, İstranca metamorfiklerinde 150-100 Ohm-metre arasında değişmektedir. Bunlar birbirlerinden kolaylıkla ayrılabilir, yeraltı jeofizik kesitlerinin yapılması mümkün olmuştur.

Özellikle tavan kayası diye anılan marn birimi içindeki kuvars-kumtaşlarının kalınlığı ve yalıtkan İstranca metamorfitlerinin temel topografyası belirledebildiğinden, bunlar arasında yeralan killi ve kömürlü düzeylerin kalınlıkları uygulanan jeofizik yöntemlerle saptanabilmiştir.

ABSTRACT : The Oligocene sediments occurring around of Çatalca are divided into two different rock units, i.e., sandstone-conglomerate and marl. The pre-Tertiary basement rocks are gneiss, micaschists, marble and quartzite which are representatives of the İstranca metamorphic massif.

The sandstone-conglomerate unit is composed of poorly consolidated sandstone, mudstone and conglomerates as channel deposits. Local existence of coaled plant fossils and local intersupplementary coals are observed in the sandstone section. Sedimentological and textural properties of the sandstone-conglomerate unit indicate that such unit possibly deposited in alluvial environment. Lignite occurrence, observed with varying dimensions which possible deposited in flood-plainmarshes of fluvial environment.

The marl unit consists of mainly clayey limestone, calceraous shale, mudstone and claystone which show cyclic and ordered lamination. Clastic horizons which are composed of well sorted quartz-arenite situate in many levels in marl section. Major rock components of the marl unit, indicate a lagoonal type shallow depositional environment. In addition to textural properties and lateral stratigraphic variations of quartz-arenites, represent the existence of a beach type clastic shore plains.

On order to delineate the continuation of these units, Schlumberger electrical soundings were conducted in two-different profiles and at 23 stations for up to 920 meters of current line expansion. Units are discriminated with respect to their electrical resistivities which are 20 to 25 Ohm-m. for the Quaternary alluvium, 10 to 15 Ohm-m. for marl, 40 to 100 Ohm-m. for sandstone, 10 to 25 Ohm-m. for sandstone* claystone, 1 to 10 Ohm-m. for lignite and clayey sediments, and 150 to 100 Ohm-m. for the Istranca metamorphics. Using the variations in electrical properties, geophysical (geoelectrical) sections were obtained along each profiles. Since the thickness of the sandstone, which is locally also called as a sealing rock, and topography of the basement rock which is composed of the Istranca metamorphics were determined accurately. As a result of these, we estimated thickness of the possibly productive clay-lignite conductive layer sandwiched in between.

GİRİŞ

Bu çalışma, Çatalca ve çevresinde geniş yayılım gösteren, yersel linyit içerikli Tersiyer tortullarının stratigrafi ve depolanma özellikleri yaansıra, jeofizik yöntemlerle yeraltı yapısının belirlenmesini amaçlar. Çalışma alanı, İstanbul'un batısında bulunan Karacaköy ve Çatalca ilçeleri arasında yer almaktadır (Şekil 1). Hisarbeyli, Başakköy, örencik ve Celepköy çalışma bölgesi içinde yer alan belli başlı yerleşim alanlarıdır. Bölge fazla engebeli olmayan penelenmiş sayılabilecek bir topografik yapıya sahiptir. Yöredeki akarsular egemen olarak güneyden kuzeye doğru gidişler gösterir. Çalışma bölgesinde geniş yayılım gösteren Tersiyer tortulları genellikle alçak kesimleri, Istranca Masifi'ne ait metamorfiklerin yayılım gösterdiği alanlar, yükselteleri oluşturur.

Başlıca yüksek dereceli metamorfik kayalardan oluşan Istranca Masifi, çalışma alanını batıdan kuşatır. Çalışmanın konusunu oluşturan Tersiyer yaşlı tortullar, egemen olarak KB-GD doğrultulu uzanım göstermektedir. Yöredeki Tersiyer tortulları, Trakya

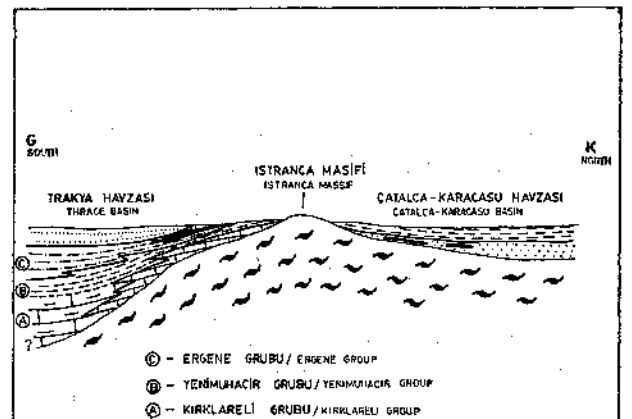


Şekil 1 : Çalışma alanının yeri ve jeolojik konumu (Ketin, 1983'den). Çalışmanın yapıldığı alan, şekilde görüldüğü gibi, Trakya havzası kuzey şelf alanından metamorfik temel yükseltisiyle ayrılmıştır.

Figure 1 : Geological setting and location of the study area. The study area is separated by metamorphic basement rocks from north shelf area of Thrace basin.

havzasının kuzey şelf alanından metamorfik temel yükseltisiyle ayrılmıştır (Şekil 1, 2). Bu yönüyle çalışma bölgesi, Trakya havzasının kuzey şelf alanıyla çeşitli bağlantıları olan ve stratigrafik benzerlikler gösteren bir komşu havza niteliğini taşır. Ancak, tortullaşmayı denetleyen tektonik ve sedimentolojik koşulların ayrıcalığı nedeniyle, tortul kalınlığı ve litolojisi her iki havzada farklılıklar gösterir. Trakya havzasında toplam tortul kalınlığı 8000 metreye ulaşırken, Çatalca-Karacasu havzasındaki tortul kalınlığı birkaç yüz metre civarındadır. Bu nedenle, Çatalca-Karacasu havzası, sığ koşulların hüküm sürdüğü duraylı bir birikim alan niteliğini taşımaktadır.

Çalışma bölgesi ve komşu bölgelerdeki Tersiyer tortullarının jeolojik özellikleri, önceki yıllarda Akar fına (1953), Keskin (1971, 1974) ile Doust ve Arıkan (1974) tarafından incelenmiştir. Yöredeki linyitlere dönük araştırmalar, Parejas (1939), Pekmezci (1957) ve Aslaner (1966) tarafından yapılmıştır. Öteyandan Tersiyer tortulları ve linyitlere ait Paleontolojik-palinolojik incelemeler Nakoman (1966) ve Gökçen (1973) tarafından yapılmıştır. Buna göre çalışma bölgesi ve komşu bölgelerde yapılan değişik araştırmalar sonunda, bölgenin stratigrafisi-



Şekil 2 : Çalışma bölgesinin jeoloji konumunu ve Trakya havzası ile ilgisini yansıtan şematik enine kesit.

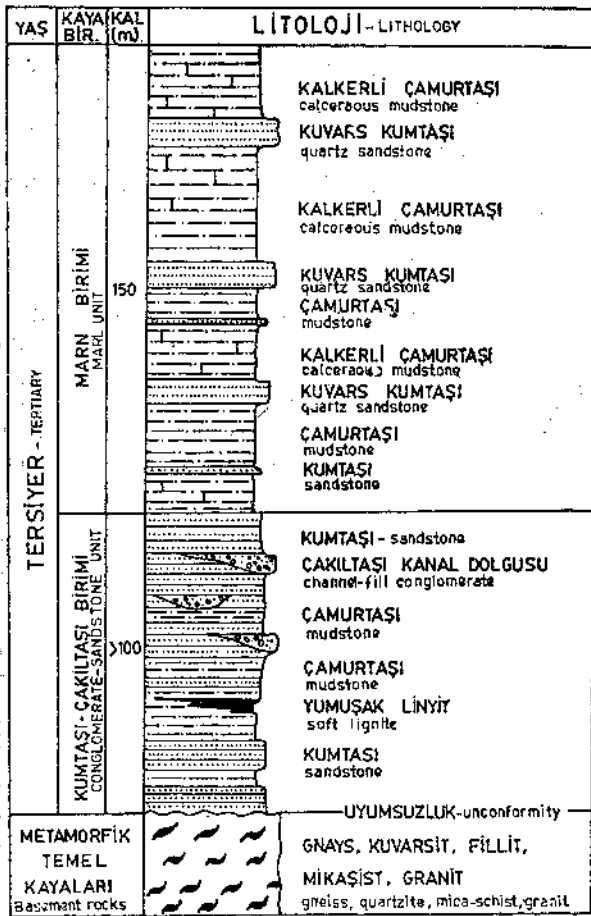
Figure 2 : Schematic cross-section and geological setting of the study area and related to Thrace basin.

ne yaklaşım sağlanmıştır. Bu çalışmada, öncelikle kömür içeren düzeylerin sedimentolojik ve jeolojik özellikleri saptanarak, ilgili Çökeltme ortamları ve bunların yanal yöndeki oluşu açıklanmış ve bazı modeller yapılmıştır.

STRATİGRAFI

Çalışma bölgesinde yer alan Tersiyer yaşlı kaya birimleri, büyük bölümüyle kırıntılı ve karbonatlı tortullardan yapıldır. Yörede yöntemsiz olarak ayrı dedilen kaya birimleri ve bunları simgeleyen litoloji türleri Şekil 3'de sunulmuştur. Bölgedeki kırıntılı ve karbonatlı tortullar, önceki araştırmalara göre (Akartuna, 1953; Gökçen, 1973), büyük bölümüyle Oligosen-Eosen zaman aralığı içinde yer almaktadır.

Yöredeki toplam tortul kalınlığı, batıdan doğuya doğru artış gösterir ve 250-300 metreye dek ulaşır. Çalışma bölgesi ve yakın çevresinde yer alan Tersiyer tortulları, egemen kaya bileşenlerine dayanılarak, iki ayrı kaya birimine bölünmüştür. Bunlar alttan üste doğru, (1) kumtaşı-çakıltaşı birimi ve (2) marn birimidir.



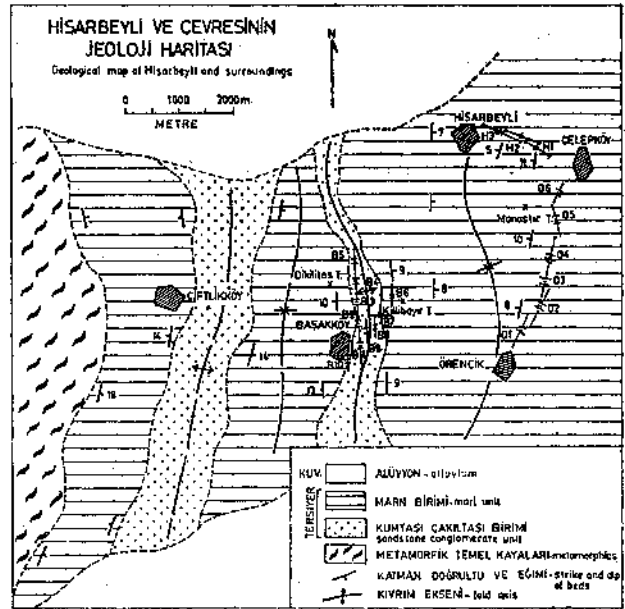
Şekil 3 : Çalışma alanında yer alan Tersiyer tortullarının genelleştirilmiş stratigrafi istifi.
 Figures : Generalized stratigraphic sequence of the Tertiary sediments of the study area.

Çalışma bölgesinde yer alan Tersiyer öncesi temel kayaları, Mranca Masifi'ne ait metamorfitten yapıldır. Metamorfik temel kayaları çalışma alanının batısında yayılım gösterir ve egemen olarak, gnays, mikaşist, kuvarsit, mermer ve granitten yapılır. Tersiyer öncesi temel kayalarının jeolojik yaş ve konumları bu çalışmanın konusu dışında kaldığından ayrıntılı incelenmemiştir. Çalışma bölgesinde yer alan kaya birimlerinin alansal yayılımları, Şekil 4'de verilen jeolojik haritada gösterilmiştir.

Kumtaşı Çakıltaşı Birimi

Başlıca kumtaşı, çamurtaşı ve çakıltaşı kanal dolgularından, oluşan birime ait en iyi görünüm, Başakköy Deresi ve Çiftlikköy Deresi içinde yer alır. Alt dokanağı görülemediği için, birimin kalınlığı tam olarak saptanamamıştır. Akartuna (1953), çalışma bölgesinde birime karşılık gelen tortulları, Priaboniyen (Üst Eosen) yaşlı «marn, gre, gremsi kalker, kalker ve konglomera» birimi şeklinde sınıflamıştır. Keskin (1974), Trakya havzası kuzey alanında birime karşılık gelen tortul bölümünü, Orta-Üst Miyosen yaşlı Ergene Grubu içinde göstermiştir.

Birimin egemen bileşeni olan kumtaşları, genellikle çok zayıf pekleşmiş, sanmsı-yeşilimsi gri ve düzensiz katmanlıdır. Taneler ince-kaba arası büyüklükte, kötü boyolanmak ve çamur aramaddelidir. Kömürleşmiş bitki kalıntıları ve çamurtaşı arakatmanları, kumtaşı kesiti içinde olağan olarak bulunur. Çamurtaşları egemen olarak yeşilimsi gri ve belirsiz katmanlı olup, yersel linyit arakatkılan içerir. Birim içinde yer alan linyitlerin kalınlığı, komşu alanlarda



Şekil 4 : Çalışmanın yapıldığı bölgenin basitleştirilmiş jeoloji haritası ve yerelektrik delgi durakları.
 Figure 4 : Simplified geological map of the study area and geoelectrical sounding stations.

60 cm²'ye dek ulaşmaktadır. linyi der çoğunlukla yu* muşak kahvereng kömür Özelliğindedir.

Organik maddece zengin çamurtaşı arakatılan, küçük ölçekli çapraz katmanlanma ve kömürleşmiş bitki kalıntıları, kumtaşı içinde yer alan olağan tortul oluşuklardır.

Çakıltaşları başlıca pekleşmemiş, kötü boylanma- lı ve çamur desteklidir; kumtaşı kesiti içinde yanal yönde sürekli olmayan kanal dolguları şeklinde bu* lunur. Taneler genellikle 1-3 cm. büyüklükte olabilen kuvars, çört, granit ve gnays kırıntılarında oluşur. Kiremitvari çakıl dizilim, üste doğru tane incilmesi ve tekne şekilli çapraz katmanlanma, çakıltaşı kanal dolguları içinde gözlenebilen olağan tortul yapılar- dır.

Kumtaşı-çakıltaşı biriminin metamorfik temel kayaları ile olan alt dokanağı, çalışma alanı içinde görülmemektedir. Ancak jeofiziksel veriler, sözkonu* su dokanağın uyumsuz olduğunu belgelemektedir. Bi- rimin kalınlığı, batıdan doğuya doğru değişim gös- terir ve en fazla 200 metreye ulaşır. Kumtaşı-çakıl- taşı birimine ait sedimanter ve bileşimsel özellikler, bu birimin alüvyonal (flüviyal) bir ortamda çökelmiş olabileceğini gösterir. Birim içinde yer alan tortul yapıların türümsel özellikleri, çakıltaşı kanal dolguları ve yersel bulunabilen kömürlü oluşuklar, flüviyal or- tamı destekleyen en önemli verilerdir. Tortul yapılar- ının türü ve dağılımı, düşük enerjili menderesli akarsu sisteminin varolabileceğini gösterir (Şekil 5) Menderesli akarsu sistemine ait dağıtım kanalları arasında kalan düşük enerjili taşkın düzlüğü bataklıklarında, yöredeki kömürlü oluşuklar gelişmiş ol- malıdır. Yöredeki kömürlerin yanal yönde gösterdiği şüresiz yayılımı, bu varsayımı destekleyen önemli verilerden biridir.

Marn BMmi

Egemen olarak ardalanma gösteren kalkerli çamurtaşı, killi kireçtaşı, kıltaşı ve yersel kuvars-kumtaşı ile litarenit bileşimli kumtaşlardan oluşan tortul kesiti, bu çalışmada «marn birimi» şeklinde ayırt edilmiştir. Akartuna (1953), çalışma alan ve yakın çevresinde birime karşılık gelen kaya topluluğunu, Priaboniyen yaşlı «marn, gre, gremsi kalker, kalker ve konglomera» birimi şeklinde sınıflamıştır.

Marn birimi çalışma alanı içinde çok geniş bir yayılım gösterir ve yaklaşık 120-130 m. kalınlığa ulaşır. Birimin egemen bileşeni olan kalkerli çamurtaş- lan, genellikle sarımsı gri, yersel düzgün laminalı ve ince-orta katmanlıdır. Kıltaşı, killi kireçtaşı ve kum- taşından oluşan arakatmanlar, çamurtaşı kesiti için, de yaygın olarak bulunur (Şekil 3). Kıltaşları, başlıca yeşilimsi gri, düzensiz yarılımlı ve yersel düzenli katmanlıdır. Katman kalınlıkları, 30-120 cm. arasında değişir.

Kuvars kumtaşları (silis kumu), başlıca açık grimsi, pekleşmemiş, ince taneli, çok iyi boylanmak ve egemen kuvars bileşenlidir. Folk (1968) sınıflama-

sına göre, kuvars-arenit olarak adlandırılabilir. Ku- vars kumtaşının çalışma alanı içinde ölçülebilen kalınlığı, 450-800 cm. arasındadır. Ölçülmüş değerlere göre, kuvars kumtaşının kalınlığı batıdan doğuya doğru azalmaktadır. Marn kesiti içinde belirgin olarak iki ayrı düzeyde gözlenebilen kuvars-kumtaşları, bu yönüyle, çalışma alanı için, bir klavuz düzey nite- liğindedir.

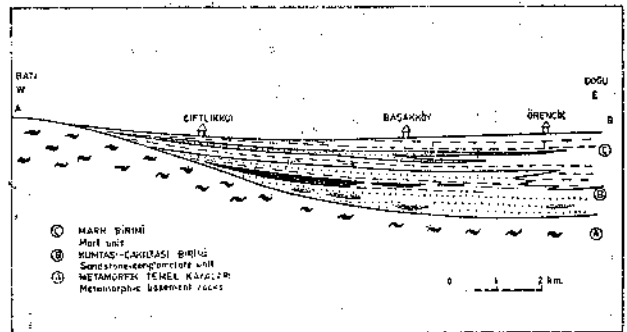
Litarenit bileşimli kumtaşları, genellikle ince- orta arası düzgün katmanlı ve yersel iyi pekleşmiş olup, marn kesiti içinde birden çok düzeylerde bulu- nur. Litarenitler genellikle iyi boylanmalı ve karbo- nat çimentoludur; taneler egemen olarak metamor- fik kaya kırıntılarında oluşur. Katman kalınlıkları kısa uzaklıklar içinde yanal değişimler sunar. Göz- lenebilen yerlerdeki katman kalınlığı 10-250 cm. ara- smda değişir.

Marn biriminin egemen bileşeni olan ve arda- lanma gösteren düzgün laminalı kalkerli çamurtaşla- fi ve killi kireçtaşları, lagün benzeri sığ çökelme ko- şullarını yansıtır. Marn kesiti içinde yer alan organik maddece zengin koyu renkli çamurtaşı düzeyleri ve yersel biyoturbasyon yapıları, lagüner ortamı yansı- tan veriler olarak değerlendirilebilir.

Öte yandan marn kesiti içinde başlıca iki ayrı düzeyde gözlenebilen kuvars kumtaşları, ileri derece- ye ulaşmış olan minerolojik ve dokusal olgunluk aş- masını simgeler. Kumtaşların dokusal ve minerolo- jik özellikleri, bunların oldukça yüksek enerjili ve sığ olan plaj benzeri kırıntılı kıyı düzlüğünde çökelmiş olabileceğini yansıtır.

DEPOLANMA ORTAMLARI

Kumtaşı-çakıltaşı biriminin yansıttığı tortul özel- likler, düşük enerjili menderesli akarsu sisteminin egemen olabileceği bir çökelme ortamını öngörmek- tedir. Yöredeki kömürlü oluşukların kalınlığı, genel- likle batıdan doğuya doğru azalır* Öte yandan çakıl- taşımı oluşturan tane boyutlarının batıdan doğuya



Şekil 5 : Çalışma alanında yer alan kaya bMmlerinin yanal yöndeki stratigrafi ilgilerini yansıtan jeolojik enine kesit.

Figures : Geological cross-section which are showing the lateral stratigraphic relations of rock units in the study area.

doğru incelmesine paralel olarak, birimin çamur taşı bileşenleri yaygınlık kazanır. Bu verilere göre, yöre nin batısında egemen olan menderesli akarsu sisteme ait koşullar, olasılıkla batıdan doğuya doğru lagün benzeri sığ bir çökeltme ortamına derecelenir. Her iki ortam arasındaki sınırlar yanal yönde girik olup genellikle batıya doğru eğimlidir (Şekil 5). Buna göre; su düzeyinde meydana gelen yükseltilere bağlı olarak, lagüner koşullar, batıya doğru genişleme göstermiş ve zaman içinde menderesli akarsu sistemine ait koşullar ortadan kalkmış olmalıdır. Sonuçta, bu transgresyonu izleyerek, lagün kıyısındaki kırıntılı kıyı düzlüklerinde kuvars-kumtaşları çökelirken, iç kesimlerde marn birimine ait çamurlu kayalar çökelmiş olmalıdır.

YAPISAL JEOLJİ

Çalışma alanında yer alan Tersiyer yaşlı kaya birimlerine ait katman doğrultuları egemen olarak kuzey-güney yönlü gidişler sunar (Şekil 3). Genellikle düşük eğimli olan katmanlar 542 derecelik eğimlere sahiptir.

Bölgedeki kıvrımlar, batıdan doğuya doğru birbirini izleyen antiklinal ve senklinaler şeklinde gelişmiştir. Kıvrım eksenleri başlıca kuzey-güney yönünde gidişler gösterir. Kıvrım kanatları genellikle az eğimli, açık ve simetrik özelliktedir. Yörede yer alan kuzey-güney doğrultulu akarsular, çoğunlukla antiklinal eksenleri boyunca gelişmiştir. Bu nedenle altta bulunan kumtaşı-çakıltaşı birimine ait görünüler antiklinal eksenleri boyunca açılmış dere yataklarında gözlenir.

Katmanların Yerelektüt Özdirenç Dalgisi Üzerindeki Simgesel Yerleri

Schlumberger yerelektrik görünür özdirenç eğrilerinde elektrik süreksizlikleri ve katmanların özellikleri ayırd edilebilmiştir (Şekil 6). Soldan sağa, küçük açılımlardan büyük açılımlara, diğer bir anlatımla sığdan derine doğru; eğrinin ilk kanadı alüvyon örtüyü ve Pliyo-Kuvaterner kumlu-killi düzeyi, ikinci kanat yada ilk çukurluk marn ve marnlı-killi düzeyi, üçüncü yükselen kanat ve ortadaki tümsek, kapak kayayı (kumtaşı), dördüncü inen kanat ve çukur üretken taban kilini ve yükselen son kanat Istranca metamorfik temelini gösterdiği sanılmaktadır. Yereyin çoğu bölümünde yer ile elektrik tepkisi arasındaki bu yakın ilişki sürmektedir. Sözelimi kapak kayanın (kuvars-kumtaşı) ince yada olmadığı yerlerde ortadaki tümsek yok olmaktadır (Ö 2'de olduğu gibi). Kapak kaya için kalın marn yada kil girişlerinde tümsek iki hörgüçlü biçime dönüşmektedir (Ö 3'de ve H 5'de olduğu gibi). Temelin derin olduğu yerlerde, sağ uç aşağı inmektedir (H 3'de olduğu gibi). Kil ve marn örtüsünün kalınlaştığı yerlerde ilk çukur derinleşmekte (H 6 ve Ö 1), olmadığı yerlerde düzleşmektedir (H 2'de olduğu gibi).

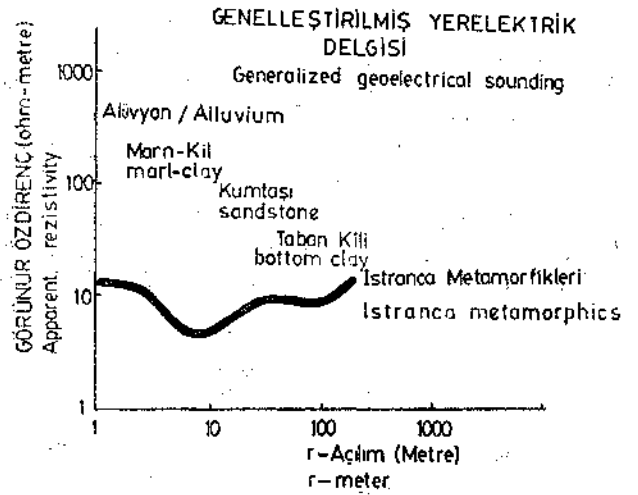
YEELEKTEİK ÖLÇÜLER

Çalışma alanında fazla engebeli olmayan bir yTU zey biçimi egemendir. Katmanlanma genel olarak

düşük eğimlidir. Elektrik ölçülerinin topografyadan etkilenmemesi için, ölçüler tepe eksenine doğrultulan boyunca alınmıştır.

Yerelektrik ölçüleri dört ayrı alanda sürdürülmüştür (Şekil 4) > Bunlar,

- a — Başakköy alanı
 - 1 —* Başakköy-Sarimeşelik doğrultusu
 - 2 — Başakköy-Kilibayır Tepe doğrultusu
- b — Kokarca düzlüğü
- c — Hisarbeyli-Çelepköy doğrultusu
- d —* Örencik-Çelepköy doğrultusu.



Şekil 6 : Hisarbeyli-Başakköy-Örencik'te yeraltı katmanları ile bunların yeryüzünde yerelektrik delgi eğrisi üzerinde yansıttıkları genelleştirilmiş belirtiler ve konumları.

Figure 6 : Geoelectrical signatures of the layered media around Hisarbeyli-Başakköy-Örencik towns.

Doğru akım üretici ile yerden geçirilen akım 70 ile 765 mA arasında değişmiştir. Genellikle akım yoğunluğu (intensity) aynı düzeyde tutulmakla birlikte, akımın geçtiği yüzey alanı gittikçe genişlediğinden küçük açılımlardan büyük açılımlara doğru akım yoğunluğu artırılmıştır.

Başakköy Deresi Yerelektrik Özdirenç Ölçümleri

Aynı doğrultu üzerinde, yaklaşık aynı düzeyde ve uzaklıkları 250 ile 300 metre arasında değişen elektrik delgi noktaları, dere akışına koşut dizilmişlerdir*. Bu dizilim derenin yer yer 250 ile 300 metre kuzeyinde, K-G doğrultusunda uzanmaktadır. Doğrultunun toplam boyu 1.5 km'dir (Şekil 4). Tüm noktalar kanatları düşük eğimli olan antiklinal ekseninde üzerinde, yer yer marn ve çoğunlukla kumtaşı-çakıltaşı birimi üzerinde seçilmiştir. Katmanların eğimleri 10-12 derece kuzeye doğrudur.

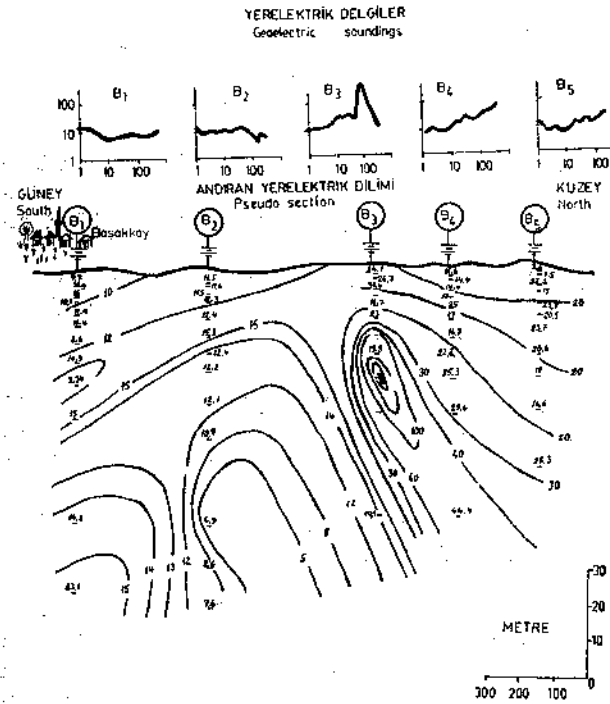
Ölçü noktalarının dizilimi ve açılım doğrultusu antiklinal eksenine koşut olduğundan yerelektrik kesitinde katmanların yatay yada yataya yakın çıkması beklenir.

Başakköy Deresi andıran yerelektrik öz direnç dilimi Ölçüm noktalarının her açılımı için gözlenen görünür öz direnç değerleri Schlumberger ve yarı Schlumberger dizilimleri için r , Wenner dizilim için $3 a/2$ denli yer altına atanarak Başakköy Deresi boyunca andıran yerelektrik öz direnç dilimi elde edilmiştir (Şekil 7). Derinlik ve eğim kestirimi yapılmayan böyle bir kesit yeraltı süreksizliklerinin varlığı üzerine ışık tutmaktadır.

Kesite göre yer, B3'ün güneyinde iletken kuzeyinde ise göreceli olarak dirençlidir. B3-B4 noktası arasında bir antiklinal ve B3-B2 arasında da bir yer kırığının varlığı simgelenmektedir. Temel niteliğindeki uzanım B3'ün güneyine ve kuzeyine doğru dalmalıdır. Ulaşılan en yüksek görünür öz direnç değeri B3'ün altında olup 1427 Ohm-metre, en küçüğü ise 4.9 Ohm-metre ile B2 altındadır.

Şekil 7'de verilen kapanımlar eşgörünür öz direnç değerlerini simgelemektedir.

Başakköy Deresi yerlektrik dilimi (jeofizik yapı kesiti) Doğrultu boyunca yer alan yerelektrik delgi eğrileri üst bölümde gözlenmektedir. Eğri bi-



Şekil 7 : Başakköy-Sarımşelik doğrultusunda alınan yerelektrik delgi eğrileri (yukarıda) ve görünür öz direnç değerlerinin r -değeri derinliğe atanması ile elde edilen andıran yerelektrik dilimi (aşağıda).

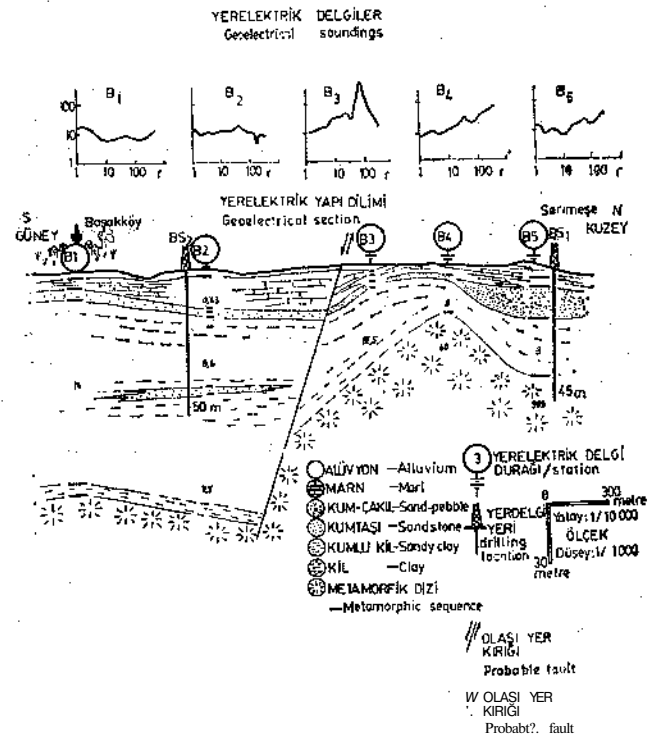
Figure 7 ; Geoelectrical sounding curves along the Başakköy-Sarımşelik direction (above) and pseudo geoelectrical section which was obtained by appointing the apparent resistivity values at depth of the separation distance (r) (below).

çimleri genelde birbirleriyle uyumsuzdur. B3, noktasında $r=100$ metrede erişilen doruk, bu noktanın 100 metre güneyinde yanal bir süreksizlik olabileceğini göstermektedir. Nitekim tüm eğrilerin değerlendirilmesi sonucu bu uzaklıkta güneye eğimli bir yer kırığı ile karşılaşmıştır. Ancak morfolojik özellikler, DB uzanımlı bir kırığın olabileceğini yansıtmaktadır.

B3 noktasının kuzeyinde eğriler genelde A türüdür. Bu gidişe neden temelin yada dirençli olması beklenen kumtaşının varlığıdır. Oysa, B3 güneyinde eğriler hemen hemen tek düzedir. Bu olgu ise B3 güneyinde temelin derinleşebileceğinin bir işaretidir.

Katmanlı yeryapısı varsayımına göre değerlendirilen yerelektrik delgi eğrileri sonucunda, Başakköy Deresi boyunca elde edilen yerelektrik kesiti, ortamda farklı katmanlar olduğunu göstermektedir (Şekil 8).

Katmanlar B1'den kuzeydeki B3'e doğru küçük bir eğimle dalmakta olup birbirleriyle uyumluluk gösteriler. Üstteki marn birimine ait killi katman B1 noktası altında 10 metre iken, B2 altında 18-20 metre kalınlığa erişmektedir. Bu iki nokta altında ortam genelde iletken olup B2 noktası altında 110 Ohm-metrelük bir mercekleşme gözlenmektedir. Küm-



Şekil 8 : Başakköy-Sarımşelik doğrultusunda jeofizik ölçülerden çıkarılan yeraltı elektrik yapısı. Schlumberger yerelektrik delgi eğrileri (yukarıda) ve bunların değerlendirilmesi sonucu bulunan yerelektrik yapı kesiti (aşağıda).

Figure 8 : Underground geoelectrical structure determined from the geophysical measurements along the Başakköy-Sarımşelik. Schlumberger sounding curves shown (above) and geoelectrical structure estimated from these (below).

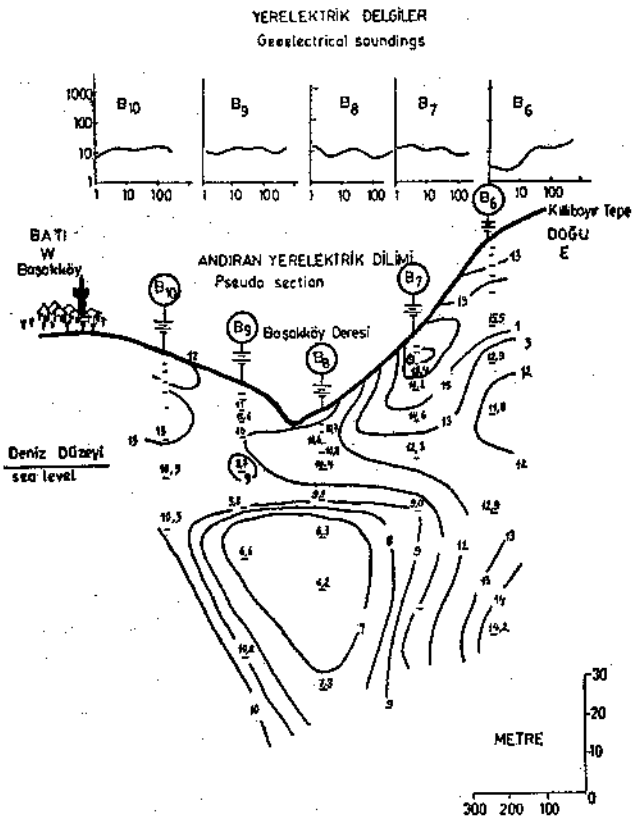
taşı ve dolayısıyla kömür için klavuz olabilecek göreceli dirençli katman kalınlığı 14 metre arasında değişim göstermekte olup, 5-15'inci metreler arasında yer aldığı bulunmuştur (Şekil 8). Bunun altında bulunan kalın katmanın 50-70 metre killi kumlu bir oluşuk olması beklenmektedir.

Sözü edilen katmanlar B3 noktasının 100 metre güneyinde süreksizliğe uğramaktadır. Bu kesintinin kuzeyinde eksen B3 ile B4 arasında yer alan antiklinal türü bir yapı ile karşılaşmıştır, (Şekil 8), B3 noktası antiklinalin güney yamacında yer almakta, B4 ve B5 kuzey yamacı üzerinde konumlanmaktadır. Yüksek öz dirençli üçüncü katman kömürlü kıltaşına ait kum taşı düzeyi olabilir. Bu katmanın kalınlığı B3-B4 arasında 2-3 metre olmakla birlikte B5 noktası arasında 12 metreye dek kalınlaşmaktadır.

Kılıbayır-Başakköy Doğrultusu Yerelektrik Özdirenç Ölçümleri

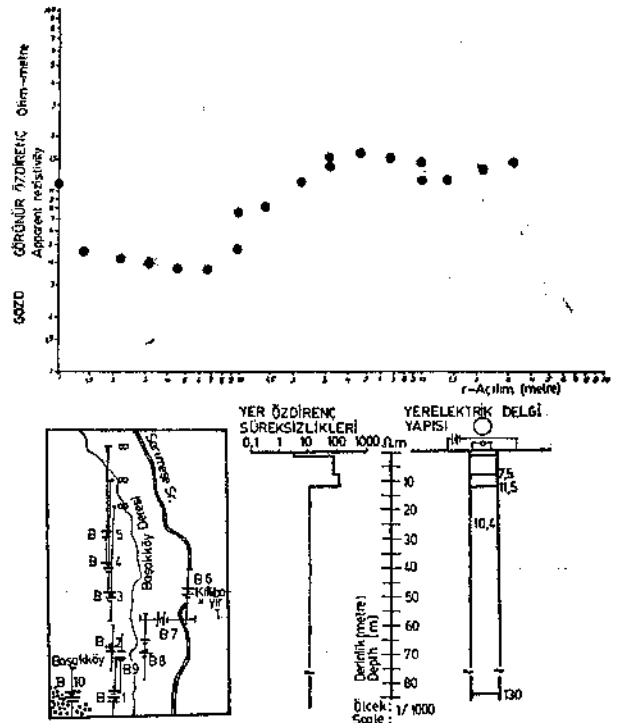
Kılıbayır, İstanbul-Karacaköy yolunun Başakköy

ayrımı üzerindedir. Kılıbayır-Başakköy doğrultusu K60D gidimli olup, yol boyunca 5 tane Schlumberger yerelektrik delgi ölçümü içerir. Bu doğrultu Başakköy Dere yatağı içinde gözlenen kumtaşı-çakıltaşı biriminin doğrultusuna yaklaşık diktir (Şekil 4). Ölçülerin bir bölümü (B6, B7, B8), antiklinal eksenine ü çakıştığı sanılan dere yatağının doğusunda, bir bölümü (B9 ve B10) dere yatağının batısında yer alır. Antiklinal ekseninin doğu yakasındaki eğimler 8-9 derece doğuya doğru, batı yakasındakiler ise 10-13 derece batıyadır.



Şekil 9 : Başakköy-Kılıbayır doğrultusunda alınan yerelektrik delgi eğrileri (yukarıda) ve görünür öz direnç değerlerinin r-değinin derinliğe atanması ile elde edilen andıran yerelektrik dilimi (aşağıda).

Figure 9 : Geoelectrical sounding curves along the Başakköy-Kılıbayır direction (above) and pseudo geoelectrical section which was obtained by appointing the apparent resistivity values at depth of the separation distance (r) (below).

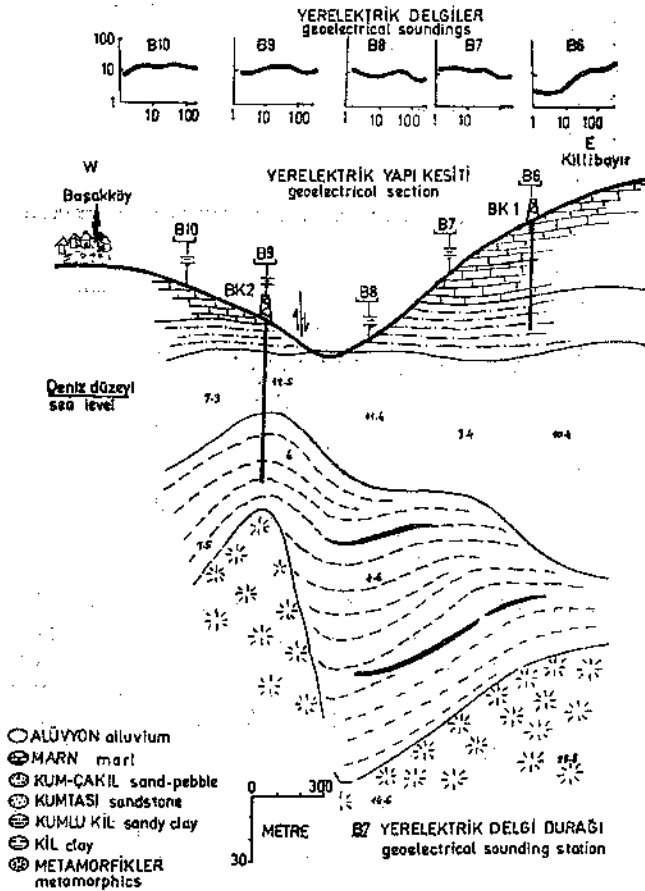


Şekil 10 : Schlumberger dizilimi ile yüzeyden B6 noktasında alınan yapay doğru akün yerelektrik öz direnç ölçümleri (yertepkisi yukarıda). Yerelektrik ölçülerin alındığı yer (Başakköy, solda). Yerin derinliklerine doğru bulunan yerelektrik öz direnç süreksizlikleri (ortada). Değerlendirme sonucu elde edilen yerelektrik yapısı ve elektrik delgisi (sağda). Yandaki sayılar metre olarak katman geçişlerini, oradaki her katmanın elektrik öz direncini göstermektedir.

Figure 10: Geoelectrical apparent resistivity response measured with the Schlumberger array at B6 station on the surface (earth response above). Location map of the geoelectrical study field (on the left). Geoelectrical discontinuities along the vertical direction (in the middle) and estimated geoelectrical layering log, on the right. Number on one side indicate the layer-interface depth as metre and the one at the middle show the resistivity of the layer.

MUibayır-Başakköy doğrultusu andıran yerelektrik dilimi Sözü edilen doğrultu boyunca Schlumberger açma noktalarının özekleri topografyaya uygun olarak yerleştirilmiştir. Göstermelikte olsa, her ölçü özünde belli bir r-yarı açılım değeri için ölçülen görünür öz direnç değeri o nokta altında r-denli yer içine atanmıştır. Daha sonra eşgörünür öz direnç değeri içeren noktalar birleştirilerek yeraltının andıran yerelektrik dilimi Killibayır ile Başakköy arasında çıkarılmıştır (Şekil 9). Sığ derinliklerde kapa-nımlar yataya yakın ve topoğrafyaya uygun olmakla birlikte, dere yatağında bir V-biçimine dönüşmektedir.

Killibayır-Başakköy doğrultusu yerelektrik dilimi (Jeofizik yeryapı kesiti) Şekil 10'da verilen Schlum-



Şekil 11 : Başakköy-Killibayır doğrultusunda jeofizik ölçülerden çıkarılan yeraltı elektrik yapısı. ScWumberger yerelektrik delgi eğrileri! (yukarıda) ve bunların değerlendirilmesi sonucu bulunan yerelektrik yapı kesiti (aşağıda).

Figure 11: Underground geoelectrical structure determined from the geophysical measurements along the Başakköy-Killibayır. Schlumberger sounding curves shown (above) and geoelectrical structure estimated from these (below).

bergör yerelektrik delgi görünür öz direnç eğrilerinin yatay--katmanlı-yeraltı yapısı varsayımına göre, değerlendirilmesi sonucu yerelektrik yapılaşmış tır. (Şekil 11). Genelde katman sayısı beş tanedir Kum taşı; ve üzerindeki katmanlar Killibayır'dan Başakköy'e doğru kalınlaşmakta iken, kumtaşı altındaki iletken katman tersine, doğudan batıya gittikçe in çelmektedir. Bu elektrik katmanların kesin kalınlık ve öz dirençleri Şekil 8'de ayrı ayrı; Şekil 11'de topluca verilmiştir.

Buna göre en üstte örtü olarak kalınlığı 1-10 metres ve elektrik 5-13 Ohm-metre arasında değişen kumlu-killi tarım toprağı vardır. Bu toprak Başakköy Deresi dolayında aşınmayla ortadan kaldırılmıştır.

İkinci katman olarak B10-B8 arası kalınlığı 8-10 m; B8HB6 arasında 2 m ve elektrik öz direnci 10 Ohm-metre dolayında olan alüvyon ve kil olduğu sanılan oluşuklar bulunmaktadır.

Üçüncü katman olarak Çiftlikköy dolayında içinde 30 cmlik kömür bulunduran kumtaşı-çakıltaşı yer almaktadır. Bu katmanın yerelektrik öz direnci 17-136 Ohm-metre arasında ve kalınlığı 35 ile 4 m arasında (Killibayır B6) değişmektedir. Diğer bir deyimle kömür içerdiği sanılan bu katman, Killibayır'dan Başakköy'e doğru kalınlaşmaktadır.

Hisarbeyli Doğrultusu Yerelektrik Ölçümleri

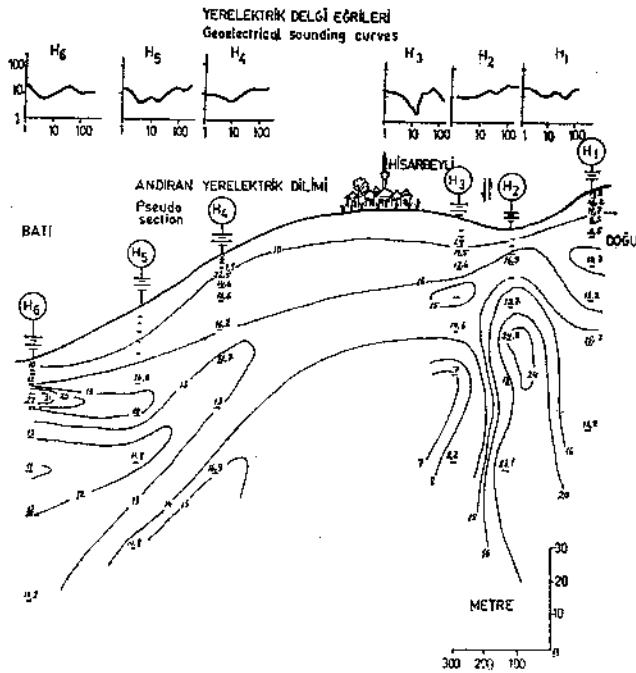
Yeryapısı katmanlarının sayısı ve kalınlığını bulmak ve ayrıca kömür içerebilecek bölümleri belirlemek için Hisarbeyli dolayında, yapay doğru akım yerelektrik öz direnç delgi ölçümleri alınmıştır. Yaklaşık 2.5 km. boylu ölçü doğrultusunun uzanımı K60B dir (Şekil 4).

Yerelektrik delgi eğrilerinin biçimleri H1'den H6'ya değin alınan yerelektrik görünür öz direnç eğrileri katman geçişlerini gösterir biçimde dalgalanmalar yapmaktadır (Şekil 12). Eğrilerin biçimleri çoğunlukla HKH, KHK türü olup önemli 5 tane katmanı simgelemektedir.

Eğrilerden en uyumsuzu H3 eğrisidir. Bu noktada 22 metrelik açılıma dek eğri sürekli olarak düşmekte ve tam 22 metre üzerinde 15 Ohm-metrelik görünür öz direnç değerine erişmektedir. Daha sonra aniden yükselerek 13 Ohm-metrelik değere varmaktadır. Ölçüm yanlıgısı olup olmadığını belirlemek için, H3 ölçüleri 3 kez yinelenmiş ve hep aynı sonuç elde edilmiştir. Böyle ani bir değişim ancak yanal süreksizlikten kaynaklanabilir. Diğer komşu verilerde bakıldığında süreksizliğin (yer kırığının) H3'ün 22 m doğusunda yer alabileceği saptanmıştır. Diğer jeofizik bilgilerle birleştirildiğinde 25-30 metre atımlı ve doğudaki bloğun göreceli olarak yukarıya yükseldiği anlaşılır.

H3 noktasının batısında ve doğusunda yeralan hemen her eğride, sağ ucun kalkması dirençli elektrik temeli simgeler niteliktedir.

Hisarbeyli-Celepköy doğrultusu andıran yerelektrik dilimi. Eşgörünür öz direnç içeren noktalardan



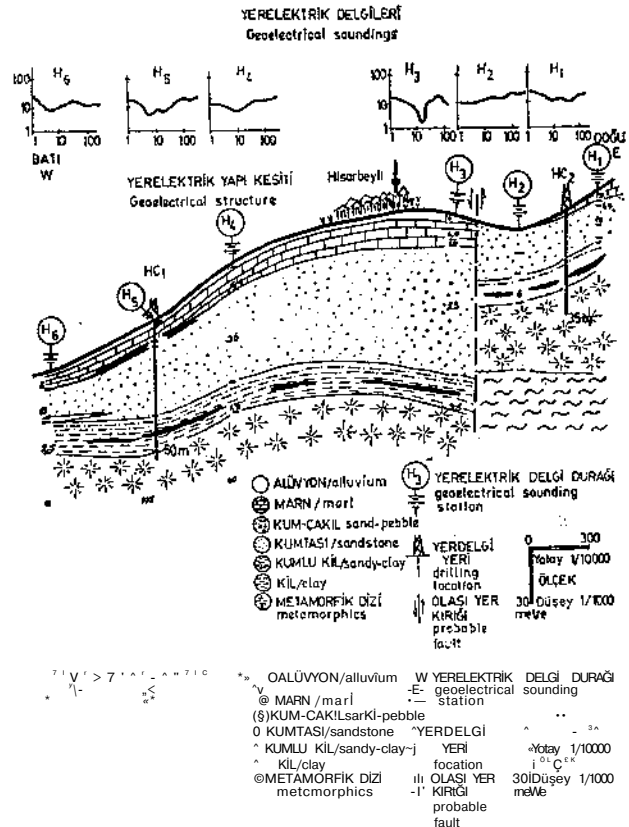
Şekil 12 : Hisarbeyli-Celepköy doğrultusunda alınan yerelektrik delgi eğrileri (yukarıda) ve görünür öz direnç değerlerinin r-değın derinliğe atanması ile elde edilen andıran yerelektrik dilimi (aşağıda).

Figure 12 : Geoelectrical sounding curves along the Hisarbeyli-Celepköy direction (abowe) and pseudo geoelectrical section which was obtained by appointing the apparent resistivity values at depth of the separation distance (r) (below).

kapammlar geçirerek, andıran yerelektrik dilimi elde edilmiştir (Şekil 12). Görünüşe göre H3 ile H2 noktaları arasında yanıl yönde bir süreksizlik izlenmektedir. Bu süreksizliğin bir yer kırığını simgelediği sanılmaktadır. Süreksizliğin doğu yakasındaki görünür öz direnç değeri batı yakasına göre daha büyüktür. Özellikle H3 noktasının batısında görünür öz direnç eğrilerinin topografya ile iyi bir uyum göstermiş olması, bu yönenin tektonizmaya uğramadığının bir belirtisidir.

Hisarbeyli-Celepköy doğrultusu yerelektrik dilimi (Jeofizik yeryapı kesiti) Bu doğrultu boyunca altı noktada alınan Schlumberger yerelektrik delgi eğrilerinin yatay katmanlı yapı varsayımına göre değerlendirilmesi sonucu yerelektrik yapı kesiti elde edilmiştir (Şekil 13). Bu doğrultuda karşılaşılan en önemli yapı H3'ün 22 m. doğusundaki yer kırığıdır. Bu normal atımlı bir kırık olup, düşey atım miktarı 25-30 m. kadardır.

Hisarbeyli doğrultusu boyunca kömür içerdiği sanılan kumtaşı biriminin en kalın olduğu yer 40 m. ile Hisarbeyli Köyünün altı olduğu sanılmaktadır. Hisarbeyli Köyü batısında 8-10 m. kalınlıkta toprak ve kil katmanları ile örtülü kumtaşı (H3-H1 arası), hemen hemen 3-5 m. yüzeydedir. Kumtaşı birimi batıya



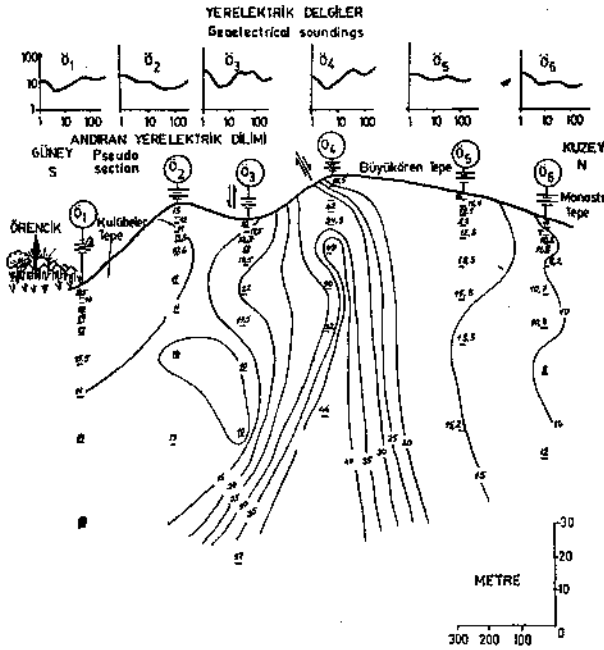
Şekil 13 : Hisarbeyli-Celepköy doğrultusunda yapılan jeofizik ölçülerden çıkarılan yeraltı elektrik yapısı. Schıranberger yerelektrik delgi eğrileri (yukarıda) ve bunların değerlendirilmesi sonucu bulunan yerelektrik yapı kesiti (aşağıda).

Figure 13; Underground geoelectrical structure determined from the geophysical measurements along the Hisarbeyli-Celepköy. Schlumberger sounding curves shown (abowe) and geoelectrical structure estimated from these (below).

gittikçe incelmekte olup, H6 altında kalınlığı 10 metreye değin düşmektedir. Kumlu düzeylerin hemen altında, kalınlığı yer yer 8 ale 12 m. arasında değışen killi düzeyler bulunmaktadır. Killi düzeylerin altında 40 ile 100 Ohm-metrelik elektrik temel uzanmaktadır. Katmanlar genelde yatay yada yataya yakın olup, Hisarbeyli altında antıldinal türü bir yapı görünümünü vermektedir.

Örencik Celepköy Doğrultusu Yerelektrik Çalışmaları Örencik-Celepköy arasında yapılan jeofizik çalışmalar, altı adet yerelektrik ölçümü içermektedir Örencik'ten 200 m. Celepköy'e doğru yol üzerinde başlatılan ölçüler, yaklaşık 250 ile 320 m. aralı duraklarla yol boyunca alınmıştır (Şekil 4).

Elektrik delgi eğri biçimleri Gözlenen yerelektrik görünür öz direnç eğrileri, katman geçişlerinin yüzeyde yeterli belirti yaratabilecek düzeyde elektrik yansıma katsayısı edindiklerini belirtmektedir. Dolayısıyla eğriler, inişli çıkışlıdır ve genellikle HKH, HAH, KHK türündedir (Şekil 14). En çok 7 katman geçişini gösteren eğrilerde en az 5 ana katman belirgin olarak izlenmektedir. Öl ve 02 eğrileri tekdüze bir ortamı simgeler biçimde olmasına karşın, 03 ve



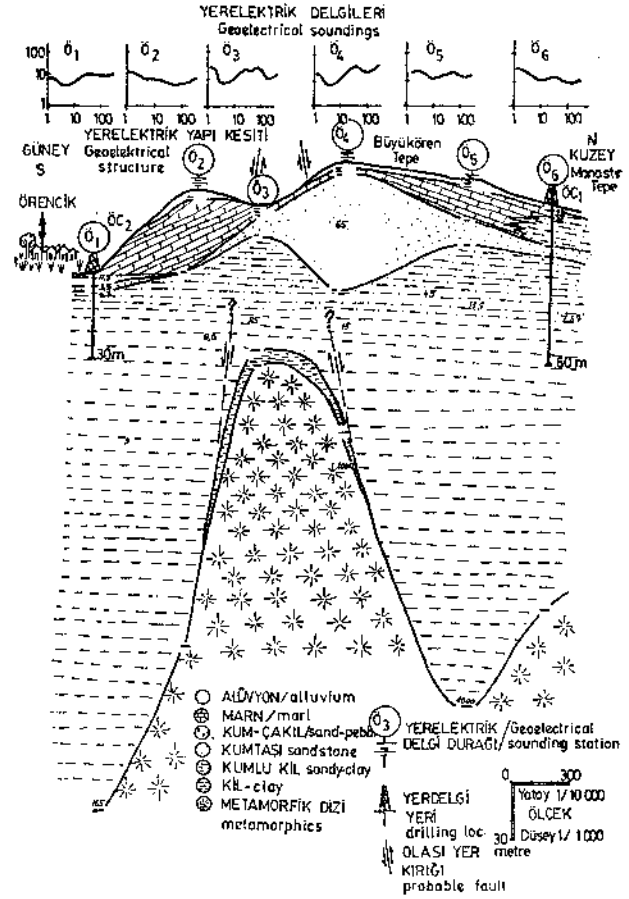
Şekil 14 : Örencik-Celepköy doğrultusunda alınan yerelektik delgi eğrileri (yakanda) ve görünür öz direnç değerlerinin r-değiri derinliğe atanması ile elde edilen andıran yerelektik dilimi (aşağıda).

Figure 14 : Geoelectrical sounding curves along the Örencik-Celepköy direction (above) and pseudo geoelectrical section which was obtained by appointing the apparent resistivity values at depth of the separation distance (r) (below).

04 olasılıkla yanal süresizliği simgeler biçimde dalgalanmakta, Celepköy yakasındaki 05 ve 06 ise birbirleri ile çok iyi bir uyum göstermektedir. Eğrilerde direçli kumtaşı 01, 02, 05 ve 06'da tek hörgüç biçiminde gözlenmekle birlikte 03 ve 04'te aynı konuda iki hörgücün yer aldığı izlenmektedir. Tüm eğrilerde ortalama görünür öz direnç 15-20 Ohm-metredir. Eğrilerin tümü, yeraltında dirençli bir elektrik temeli gösterircesine sağ uçlarını kaldırmaktadır. Ayrıca tüm eğrilerde sığ iletken bir katmanı simgeleyen küçük açılımlarda bir çukurluk düşme izlenmektedir.

Örencik-Celepköy andıran yerelektik dilimi. Örencik-Celepköy yolu boyunca logaritmik Schlumberger açılımı kullanılarak 6 durakta yerelektik öz direnç eğrileri alınmıştır. Her r-yanaçılım için bulunan görünür öz direnç değeri o durak altında r-denli derinliğe atanmıştır. Daha sonra eşgörünür öz direnç edinmiş noktaların eğrilerle birleştirilmesi sonucu, Örencik-Celepköy doğrultusu andıran yerelektik dilimi elde edilmiştir (Şekil 14).

Görünür öz direnç eğrilerin Ö3-Ö4 noktaları arasında yüksek öz dirençli bir sıkışma yapmasının iki nedeni olabilir. 1 — Bu aralıkta bir antiklinal tepenin yeralabilir, yada 2 — Birisi Ö3'ün 25-30 m güneyinde diğeri Ö4'ün 120 m güneyinde olmak üzere



Şekil 15 : Örencik-Celepköy doğrultusunda jeofizik ölçülerden çıkarılan yeraltı elektrik yapısı. Schlumberger yerelektik delgi eğrileri (yukarıda) ve bunların değerlendirilmesi sonucu bulunan yerelektik yapı kesiti (aşağıda).

Figure 15 : Underground geoelectrical structure determined from the geophysical measurements along the Örencik-Celepköy. Schlumberger sounding curves show (above) and geoelectrical structure estimated from these (below).

iki yer kırığıyla yeraltı dilimlenmiştir. Bu iki kırığın ortasında temel bir yükselim (horst) görünümündedir. Bu durumda gerek Ö3'ün güneyinin ve gerekse Ö4'ün kuzeyinin yataklamaya uygun bir yapı içerdiği anlaşılır. Morfolojik olarak Ö3 çöküntüsünün olduğu yerde bir çift kırık olması olası görülmektedir.

Örencik-Celepköy yerelektik dilimi (Jeofizik yapı kesiti) Yol boyunca Schlumberger yerelektik delgi eğrilerinin katmanlı yapı varsayımına göre değerlendirilmesi sonucu, yerelektik yapı kesiti elde edilmiştir (Şekil 15). Andıran kesit görünümünde izlendiği gibi bu doğrultudaki yerkesitinde 02 ile 04 arasında bir temel yükselimi 1000 Ohm-metrelilik bir öz direnç ile simgelenmektedir. 03 altında tavan derinliği 58 m olan bir yükselim, 03 ve Ö4'ün her iki

yanında en az 130 metrelik bir atımla ani bir düşme göstermektedir. Kuzeyde Büyükkören Tepe ile Manastır Tepe arasında 200 m derinlikte bir çanak oluşturan temel çukurluğu, yumuşak bir çıkışla Celepköy'e doğru sığlaşma göstermektedir. Ancak güneye dalış Örencik Köyü altında en az 220 m derinliğe varmaktadır. Sözü edilen elektrik temelinin I s trança metamorfitle yada derinlik kayaları olması beklenebilir. Böyle bir temel yükselim biçiminin hem kuzey ve hemde güneyi kömür yataklanması için uygun olabilir. 02 ile 04 arasındaki yüzey çukurluğu altına denk gelen temel yükseliminin üzerinde ve 03 altında kalınlığı 4 m olan iletken bir şapka vardır. Bunun üst yada kaolen olması beklenebilir. Temelin üzerinde ise kaim bir iletken katman yer almaktadır. Bu katmanın en kalın olduğu yerler Örencik Köyü altında 200 m., Büyükkören Tepe-Manastır Tepe arasında 170 metredir. 10-15 Ohm-metre öz direncindeki bu kaim oluşuklar, olasılıkla Tersiyerce ait kumtaşı-çakıltaşı birimi içindeki kumlu-killi bileşenlerin ardalanmasından oluşmuştur, içinde kömür içerip içermediği, ayrıntılı jeofizik ve jeolojik çalışmalarla desteklenen delgilerle anlaşılabilir.

Şekil 15'de kömür içermesi mümkün olan kumtaşı, noktalı olarak gösterilen düzeydir. Çiftlik Köyünde içinde 15-30 cm'lik kömür taşıyan bu düzeyin en kaim olduğu yer, Büyükkören Tepe'nin 250-300 m güneyinde yeralan 04 noktası altıdır (45 metre). Kumtaşı mercek görünümü olup, yanal yönde süresizdir. Bu mercek 04 ölçü durağında en kalın olduğu halde, 02 altında ise incelenerek yanal yönde çamurtaşlarma derecelenmektedir. Kulübeler Sırtı altında yeniden ortaya çıkan bu katman, Örencik Köyü altında ancak 5 metreye dek ulaşabilir.

Ancak kumtaşı merceği Celepköy'e doğru incelen bir kuyruk biçiminde uzanmaktadır. Celepköy'de bulunduğu belirtilen kömürlü oluşuklar bu kuyrukun alt bölümünde yer almış olabilir. Ancak Manastır Tepe dolayında kumtaşı merceğinin kalınlığının 3 metreye dek düştüğü ve tavan derinliğinin 17 m dolayında olduğu bulunmuştur. Bu jeofizik bulgular, Manastır Tepe dolayında daha önce yapılan delgi sonuçları ile iyi bir uyum göstermektedir.

SOLİTÇİLER

Çatalca-Karacasu arasında yayılım gösteren Tersiyer tortulları, egemen kaya bileşenlerine dayanılarak, başlıca iki ayrı kaya birimine bölünmüştür. Bunlar alttan üste doğru; (1) kumtaşı-çakıltaşı birimi, (2) marn birimidir. Kumtaşı-çakıltaşı birimine ait bileşimsel ve sedimentolojik özellikler, bu birimin düşük enerjili menderesli akarsu sistemine ait bir ortamda çökelmiş olabileceğini yansıtır. Kumtaşı-çakıltaşı birimi içinde yersel gözlenebilen kömürlü oluşuklar, akarsu dağıtım kanalları arasında kalan taşkın düzlüğü bataklıklarında gelişmiş olmalıdır.

Marn birimi, başlıca ardalanma gösteren düzgün laminalı çamurlu kayalardan ve eşlik eden kuvars-kumtaşı arakatıklarından oluşur. Birimin yansıttığı bileşimsel ve dokusal özellikler, batıdan doğuya doğ-

ru açımın gösteren plaj ve lagün benzeri sığ çökeltme ortamlarının varlığını öngörür.

Çalışma bölgesindeki tortullaşmanın başlangıç döneminde, yörede egemen olan menderesli akarsu sistemine ait koşullar, daha sonra gelişen transgresyonlara bağlı olarak, yerini lagüner koşullara bırakmış olmalıdır. Lagün kıyısındaki kıvrıntılı kıyı düzlüklerinde, marn birimi içinde arakatlı şekilde yeralan kuvars-kumtaşları çökelmiş olmalıdır.

Yöredeki kıvrım sistemleri genellikle kuzey-güney eksen gidişleri gösterirler. Kıvrımlar genellikle düşük eğimli, açık ve simetrik özelliktedir.

Yörede yapılan yerelektrik ölçümleri sayesinde, kömür içeren kumtaşı-çakıltaşı biriminin Başakköy, Hisarbeyli, Kokarca ve Örencik alanlarındaki yeraltı konumu belirlenmiştir. Buna göre bu birim içinde yeralan kumtaşı ve çakıltaşı düzeylerinin yanal yönde sürekli olmadığı ve kısa sayılabilecek uzaklıklar içinde çamurlu kayalara derecelendiği anlaşılmıştır. Yapılan yeraltı jeofizik kesitleri, bu birimin genel olarak alttan üste doğru kabalaşma gösterdiğini ve üst bölümlerde kaba kıvrıntılı, alt bölümlerde ise çamurlu kayaların egemen olduğunu yansıtmaktadır. Öte yandan kumtaşı-çakıltaşı biriminin batıdan doğuya doğru kalmaştığı, jeofizik ölçümler ile de doğrulanmıştır. Bu birime ait elde edilen jeolojik ve jeofizik veriler, batıdan doğuya doğru ilerleyen bir fluvial ortamın varlığını destekler yönde değerlendirilebilir.

Yüzeyde gözlenemeyen fakat yerelektrik ölçümleri sonucu saptanabilen faylar, yersel olarak 150 metrelik atımlara sahiptir.

Jeofizik ölçümlerle belirlenen temel topografyası, engebeli ve yer yer kırıklı olmasına karşın, bunu örten genç Tersiyer tortulları yatay yada düşük eğimli bir yapıya sahiptir.

Kumtaşı ile kil ve taban kili ile Istranca metamorfitle arasındaki sınırlar, yeterli elektrik öz direnç ayrılığı gösterdikleri için, bu katmanların tür, kalınlık, yanal süresizlik ve uyumsuz konumlan kolaylıkla saptanabilmiştir. Ancak elektrik öz dirençleri yaklaşık aynı olduğundan, kil-kumtaşı ile taban kili genellikle birleşik bir birim olarak ortaya çıkmıştır.

KATKI BELİRTME

Çalışma döneminin kış aylarına denk gelmesi nedeniyle zaman zaman tipi ve yağmur altında, yılmaz gayret ve heves ile çalışarak bu araştırmanın başarıyla bitirilmesini sağlayan jeofizik teknisyenleri Ateş Adalan, Haluk Kunter, Osman Tavtay, Mehmet Mütafçılar, Haldun Bingöl, Said Agnami, Mustafa Akgül, Mehmet Atalar, Erdem ince, Alptekin Çaltık, Teoman Aker ile Jeofizik Mühendisleri Okan Manzak, Engin Kalkan ve içtenlikle yardımlarını gördüğümüz Başakköy, Örencik, Hisarbeyli ve Celepköy köylüleri sağ olsunlar.

Bu çalışmayı aynı güç koşulları paylaşarak ve olanakları ile destekleyen Sayın Tuncer Şen, ihsan Aker ve Dr. Hüdaî Çaltepe'ye teşekkür ederiz.

DEĞİNİLEN BELGELEE

- Akartuna, M., 1953, Çatalca-Karacaköy bölgesinin jeolojisi: İ.Ü. Fen Fakültesi Mon., sayı 13, 88 s.
- Aslaner, M., 1966, Tozakh-Poyralı linyitleri ve Pınarhisar civarının jeolojisi: MTA Derg. 66, 126-143,
- Doust, H. ve Arıkan, V., 1974, The Geology of the Thrace Basin: Türkiye 2. Petrol Kongresi, tebliğler, 119-136.
- Folk, R.L., 1968, Petrology of sedimentary rocks: Hemphill's Austin, 170 pp.
- Gökçen, N., 1973, Pınarhisar Formasyonunun yaşı ve ortam şartlarında görülen yanıl deęişmeler (kuzey, kuzeydoęu Trakya): Cumhuriyetin 50. yılı Yerbilimleri Kongresi, tebliğler, 128-143.
- Keskin, C., 1971, Pınarhisar alanının jeolojisi: Türkiye Jeoloji Kur. Bült, XIV-1, 31-85.
- — — , 1974, Kuzey Ergene havzasının stratigrafisi: Türkiye 2. Petrol Kongresi, tebliğler, 137-163.
- Ketin, t., 1983, Türkiye jeolojisine genel bir bakış: İTÜ yayım 595 sayfa.
- Nakoman, E., 1966, Etude palynologique des formations Tertiaires du Bassin de Thrace. Applications stratigraphiques: These de FUniv. de Lüle.
- Parejas, E., 1939, Trakya linyitlerinin jeolojik etüdü: MTA Rap. (yayınlanmamış), no. 981, Ankara
- Pekmezçiler, S., 1957, Saray çevresindeki 56/34 sayılı ruhsat sahasına ait fen raporu: MTA Rap, no. 2610 (yayınlanmamış), Ankara.

Yazıma geliş ikrim ; 16.5.1986

Düzeltilmiş yazının geliş tarihi : 14.11.1987

Yayma verildiği tarih : 4X1988